

сообщения  
объединенного  
института  
ядерных  
исследований  
дубна

13-86-111

Т.С.Григалашвили, А.И.Григорьев, А.И.Иваненко,  
В.В.Карпухин, А.В.Купцов, Л.М.Смирнов,  
С.М.Фроликов, М.Н.Шумаков

АВТОМАТИЗИРОВАННАЯ СИСТЕМА  
ИЗМЕРЕНИЯ МАГНИТНОГО ПОЛЯ  
МАГНИТА СП-73 УСТАНОВКИ "ПОЗИТРОНИЙ"

1986

## ВВЕДЕНИЕ

На ускорителе ИФВЭ /Протвино/ проводятся эксперименты в области физики релятивистских позитрониев ( $A_{2e}$ ), которые образуются при распаде  $\pi^0$ -мезонов по схеме  $\pi^0 \rightarrow \gamma + A_{2e}/1/$ . Для наблюдения  $A_{2e}$  создан специальный канал /2/ длиной около 50 м, соединенный с камерой ускорителя и заканчивающийся плоской камерой, расположенной между полюсами спектрометрического магнита СП-73.

Позитроны разваливаются на входе в магнит на электрон и позитрон.

Регистрация и идентификация электронов и позитронов осуществляется с помощью дрейфовых камер и сцинтилляционных и черенковских счетчиков.

Электроны и позитроны имеют траектории, удовлетворяющие ряду геометрических критериев, а также одинаковые импульсы ( $p_{e+} = p_{e-}$ ). Позитроны выделяются как пик в распределении событий по отношению  $p_{e+}/p_{e-}$ . Ширина этого распределения и, следовательно, величина отношения эффекта к фону определяются величиной многократного рассеяния  $e^+$  и  $e^-$  на выходном окне плоской камеры и в дрейфовых камерах, а также точностью определения топографии магнитного поля магнита СП-73.

В настоящей работе описывается автоматизированная система, с помощью которой была измерена топография магнитного поля магнита СП-73 при разных значениях питающего тока.

## 1. МЕХАНИЧЕСКАЯ ЧАСТЬ

На рис.1 показан общий вид камеры и механического приспособления для прецизионного перемещения датчиков магнитного поля. Измерительная балка 1 одним концом закреплена на поворотном кронштейне 3, а другим - на поперечной штанге длиной 2 м через поворотно-поступательный механизм 4, который перемещается по штанге с помощью роликов. В поперечном направлении (Z) балка устанавливается с помощью калиброванных отверстий в штанге 5, отстоящих друг от друга на 20 мм. Вдоль трехметровой балки /в X-направлении/ по рельсам 2 перемещается каретка 6, которую можно юстировать по вертикали и горизонтали. На рельсах закреплена измерительная линейка с прорезями через 20 мм для фиксации каретки. Перемещение каретки по измерительной балке осуществляется реверсивным электродвигателем 10 при помощи тро-

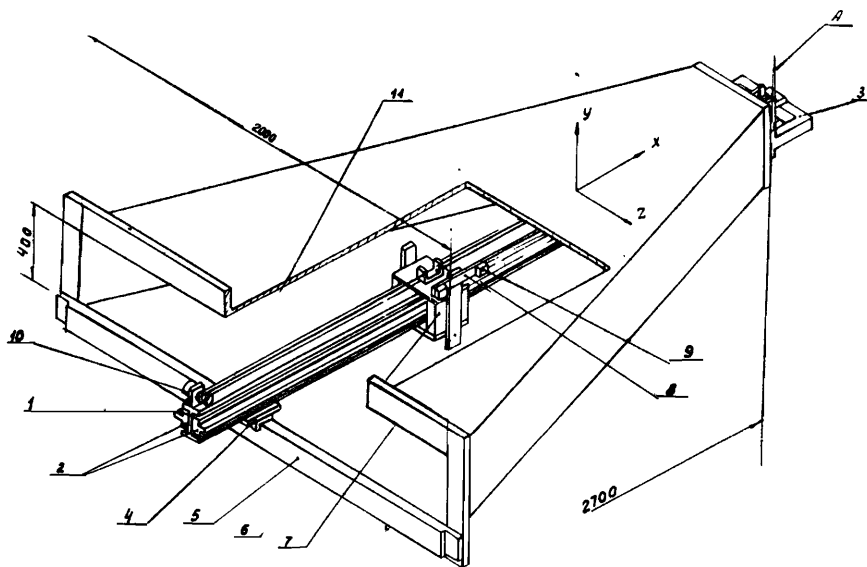


Рис.1. Общий вид камеры и механического приспособления для перемещения датчиков магнитного поля.

са 11 с боковым смещением на расстоянии 2,7 м не более  $\pm 0,1$  мм. С обеих сторон каретки установлены вертикальные направляющие 7 с отверстиями через 20 мм для установки термостатированных датчиков 9 магнитного поля. Перемещение по осям Y и Z осуществляется вручную, а по оси X автоматически со скоростью 8 мм/с. Измерение "мертвой зоны" у боковых сторон камеры обеспечивалось перестановкой датчиков.

## 2. ИЗМЕРИТЕЛЬНЫЙ ТРАКТ

Измерение магнитного поля электромагнита проводилось с помощью измерительной головки, в которой на расстоянии 100 мм друг от друга установлены два термостата с датчиками Холла и калибровочный датчик ЯМР над одним из термостатов.

В каждом термостате ортогонально друг другу расположены три датчика Холла, позволяющие одновременно измерять три компоненты магнитного поля. Температура в термостате поддерживалась на уровне  $+38,0 \pm 0,1^\circ\text{C}$ .

В качестве измерительного блока использован модернизированный магнитометр МПХ-3С/3/, а для прецизионного измерения вертикальной составляющей в однородном поле магнита - магнитометр ЯМР/4/. Предварительная калибровка датчиков Холла осуществлена в магнитном поле до 1 Т при помощи ЯМР-магнитометра. Люфт ме-

нической системы перемещения определялся измерением магнитного поля при прямом и обратном перемещении измерительной каретки по X-направлению.

Внешний вид измерительной штанги с установленными датчиками магнитного поля показан на рис.2.

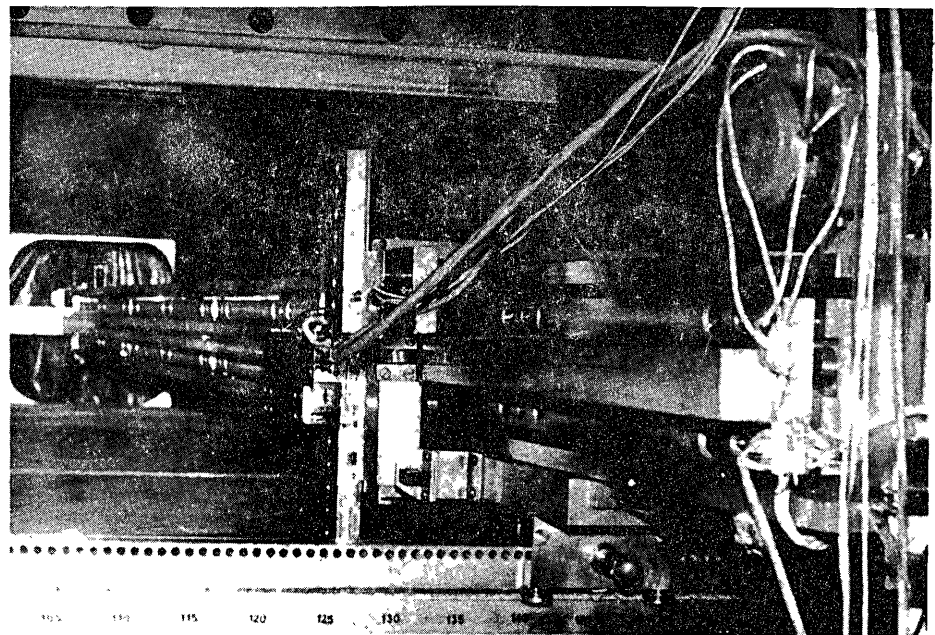


Рис.2. Внешний вид измерительной штанги.

## 3. ЭЛЕКТРОНИКА УПРАВЛЕНИЯ И СЧИТЫВАНИЯ ИНФОРМАЦИИ

Электроника управления и считывания информации содержит блок управления перемещением датчиков магнитного поля, аналоговый коммутатор, цифровой вольтметр типа 4014А, крейт КАМАК и линию связи с ЭВМ М-6000. На рис.3 показана блок-схема электроники управления и считывания информации, используемой при измерениях магнитного поля магнита СП-73. Устройство автоматического перемещения обеспечивает пошаговое реверсивное передвижение измерительной каретки вдоль направляющей балки по командам с магистрали крейта КАМАК и фиксацию положения в очередной позиции. На измерительной каретке установлены лампочка, фотодиод типа ФД-3 и формирователь сигнала. При совмещении прорезей на измерительной линейке и на каретке фотодиод засвечивается и формирователь выдает сигнал "Стоп". Формирователь содержит предварительный усилитель фотоэдс /К153УД5А/ и компаратор /К521СА3/ со схемами регулирования порога срабатывания и гистерезиса.

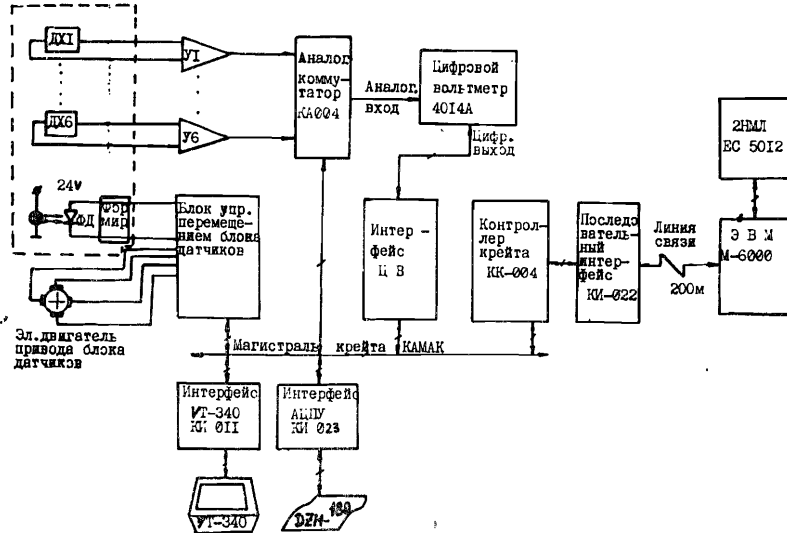


Рис.3. Блок-схема системы управления и считывания информации.

Для повышения точности позиционирования останова независимо от направления движения порог срабатывания формирователя устанавливается на уровне 90-95% от максимальной амплитуды сигнала.

Ширина окна фотодиода подбиралась примерно равной ширине прорези, и максимум сигнала с фотодиода приходился на момент достижения центра прорези. Однако это накладывает жесткие требования на уровень шумов фотодиода. Поэтому фотодиод был включен в режиме фотоэлемента, хотя при этом максимальное напряжение с него не превышает 25 мВ. Порог "отпускания" формирователя установлен на уровне 15-20% от амплитуды сигнала, что позволяет устранить ложные срабатывания.

Блок управления перемещением выполнен в стандарте КАМАК и содержит счетчик номера позиции, схему индикации номера позиции, схему привода реверсивного электродвигателя и схему управления перемещением, которая предназначена для запуска и останова двигателя перемещения, а также для выработки статусных сигналов и инкрементации счетчика номера позиции после окончания перемещения измерительной каретки. С магистрали выполняются команды чтения и установки счетчика, запуска движения каретки, проверки готовности /окончания перемещения/ чтения статусного регистра, содержащего информацию о состоянии двигателя /движение вперед, назад и останов/, фотоэлемента /засвечен или нет/, концевых выключателей.

#### 4. ИЗМЕРЕНИЯ

Шесть выходов магнитометра Холла соединены через программируемый аналоговый релейный коммутатор КА004 в стандарте КАМАК/5/ со входом цифрового вольтметра 4014А. Выход вольтметра связан с крейтом КАМАК через интерфейс, позволяющий производить запуск преобразования аналогового сигнала в цифровой код по команде с магистрали, анализ окончания преобразования и чтение цифрового кода.

Данные измерений передавались в ЭВМ М-6000 для записи на магнитную ленту. Управление осуществлялось по линии связи длиной 200 м через последовательные интерфейсы КИ022/6/ и контроллер крейта КК004/7/. С крейтом также связаны алфавитно-цифровой дисплей VT-340 и цифровая печать DZH-180.

В ходе измерений ЭВМ М-6000 решала следующие задачи:

- диалог с оператором;
- управление перемещением измерительной каретки;
- считывание информации и запись на магнитную ленту.

При необходимости информация выводилась на АЦПУ.

Информация о значении магнитного поля с частотомера ЯМР-магнитометра вводилась оператором с клавиатуры дисплея в калибровочных точках электромагнита. Программное обеспечение измерений написано на языке Бейсик. Для управления удаленным крейтом и записи на магнитную ленту использовалась программа PULT/8/, написанная на ассемблере.

#### ЗАКЛЮЧЕНИЕ

С помощью описанной аппаратуры были проведены измерения магнитного поля для трех значений тока электромагнита - 98, 272, 380 А. При этом в совокупности получено около  $10^5$  измеренных значений.

Авторы благодарят Л.Л.Неменова и Э.И.Мальцева за постановку задачи и помощь в ее реализации, а также В.Е.Баша, Н.А.Владимирову, Н.П.Горчакова, Ю.И.Ильичева, В.И.Комарова, А.К.Куликова, А.В.Куликова, А.А.Олейника, Ю.А.Ченцова за помощь в работе.

#### ЛИТЕРАТУРА

1. Алексеев Г.Д. и др. ЯФ, 1984, 40, с.139.
2. Губриенко К.И. и др. Препринт ИФВЭ, 85-149, Серпухов, 1985.
3. Лачинов В.М. и др. ОИЯИ, Р9-12517, Дубна, 1979.
4. Ивашкевич С.А. ОИЯИ, 13-4969, Дубна, 1970.
5. Антохов В.А. и др. ОИЯИ, 10-11636, Дубна, 1970.

6. Антихов В.А. и др. ОИЯИ, 10-12912, Дубна, 1979.
7. Журавлев В.А. и др. ОИЯИ, 10-8754, Дубна, 1975.
8. Шумаков М.Н. ОИЯИ, 11-80-272, Дубна, 1980.

**Вниманию организаций и лиц, заинтересованных в получении  
публикаций Объединенного института ядерных исследований**

Принимается подписка на препринты и сообщения Объединенного института ядерных исследований.

Установлена следующая стоимость подписки на 12 месяцев на издания ОИЯИ, включая пересылку, по отдельным тематическим категориям:

ИНДЕКС	ТЕМАТИКА	Цена подписки на год
1.	Экспериментальная физика высоких энергий	10 р. 80 коп.
2.	Теоретическая Физика высоких энергий	17 р. 80 коп.
3.	Экспериментальная нейтронная физика	4 р. 80 коп.
4.	Теоретическая физика низких энергий	8 р. 80 коп.
5.	Математика	4 р. 80 коп.
6.	Ядерная спектроскопия и радиохимия	4 р. 80 коп.
7.	Физика тяжелых ионов	2 р. 85 коп.
8.	Криогеника	3 р. 85 коп.
9.	Ускорители	7 р. 80 коп.
10.	Автоматизация обработки экспериментальных данных	7 р. 80 коп.
11.	Вычислительная математика и техника	6 р. 80 коп.
12.	Химия	1 р. 70 коп.
13.	Техника физического эксперимента	8 р. 80 коп.
14.	Исследования твердых тел и жидкостей ядерными методами	1 р. 70 коп.
15.	Экспериментальная физика ядерных реакций при низких энергиях	1 р. 50 коп.
16.	Дозиметрия и физика защиты	1 р. 90 коп.
17.	Теория конденсированного состояния	6 р. 80 коп.
18.	Использование результатов и методов фундаментальных физических исследований в смежных областях науки и техники	2 р. 35 коп.
19.	Биофизика	1 р. 20 коп.

Подписка может быть оформлена с любого месяца текущего года.

По всем вопросам оформления подписки следует обращаться в издательский отдел ОИЯИ по адресу: 101000 Москва, Главпочтамт, п/я 79.

ТЕМАТИЧЕСКИЕ КАТЕГОРИИ ПУБЛИКАЦИЙ  
ОБЪЕДИНЕННОГО ИНСТИТУТА ЯДЕРНЫХ  
ИССЛЕДОВАНИЙ

Индекс	Тематика
1.	Экспериментальная физика высоких энергий
2.	Теоретическая физика высоких энергий
3.	Экспериментальная нейтронная физика
4.	Теоретическая физика низких энергий
5.	Математика
6.	Ядерная спектроскопия и радиохимия
7.	Физика тяжелых ионов
8.	Криогеника
9.	Ускорители
10.	Автоматизация обработки экспериментальных данных
11.	Вычислительная математика и техника
12.	Химия
13.	Техника физического эксперимента
14.	Исследования твердых тел и жидкостей ядерными методами
15.	Экспериментальная физика ядерных реакций при низких энергиях
16.	Дозиметрия и физика защиты
17.	Теория конденсированного состояния
18.	Использование результатов и методов фундаментальных физических исследований в смежных областях науки и техники
19.	Биофизика

Григалашвили Т.С. и др.  
Автоматизированная система измерения магнитного поля магнита СП-73 установки "Позитроний"

13-86-111

Предложена и описана методика измерения топографии магнитного поля электромагнита СП-73 установки "Позитроний" на канале ускорителя У-70. Измерение магнитного поля осуществлялось с помощью преобразователей Холла с периодическим контролем магнитного поля в реперных точках магнитометром ЯМР. Управление пошаговым перемещением датчиков магнитного поля производилось автоматически от ЭВМ М-6000. Данные измерения записывались на магнитную ленту и выводились на цифровую печать в конце каждого цикла. С помощью описанной аппаратуры проведены измерения магнитного поля для трех значений тока электромагнита и в совокупности получено  $10^5$  измеренных значений магнитного поля.

Работа выполнена в Серпуховском научно-экспериментальном отделе ОИЯИ.

Сообщение Объединенного института ядерных исследований. Дубна 1986

Перевод О.С. Виноградовой

Grigalashvili T.S. et al.  
Automated System for Measurement of the SP-73 Magnet Magnetic Field of POSITRONIUM Facility

13-86-111

A technique for measurement of the magnetic field topography in the SP-73 electromagnet of the POSITRONIUM experimental facility on the channel of the U-70 accelerator is proposed and described. The magnetic field values were measured by means of the Hall transformer, the magnetic field being regularly checked in reference points with a NMR magnetometer. A step-by-step movement of magnetic field sensors was automatically controlled by the M-6000 computer. Measurement data were recorded on a magnetic tape with alpha-numeric output at the end of each cycle. Using the above equipment, magnetic fields for three current values applied to the electromagnet have been measured. A total of  $10^5$  measured values of the magnetic field has been obtained.

The investigation has been performed at the Serpukhov Scientific-Experimental Department, JINR.

Communication of the Joint Institute for Nuclear Research. Dubna 1986